

BUKU PROSIDING

Seminar Nasional Tahunan Teknik Mesin 2019

SNTTM XVIII

Inovasi Maju dalam Teknik Mesin untuk Pembangunan Berkelanjutan

KEYNOTE SPEAKERS:

• Associate Prof. Dr. Eng. Nobumasa Sekikita
Toyohashi University of Technology, Japan

• Prof. Emeritus Yoshihiro Nuzita
Professor Emeritus of Hokkaido University, Japan

• Ir. Sigit Puji Santosa, MSME, Sc.D., IPU
Director of LPTK, Institut Teknologi Bandung

9 - 10 Oktober 2019

Hotel Kartika Gregoi Hotel & Conference Center
Jakarta, Indonesia

Diselenggarakan oleh:
Jurusan Teknik Mesin
Fakultas Teknologi Industri
Universitas Trisakti

Didukung oleh:



**LEMBAR PENGESAHAN
PROSIDING ILMIAH NASIONAL**

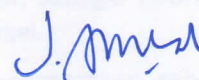
Judul artikel : Strength analysis of lifting lug of horizontal cylindrical pressure vessel

Penulis Makalah : Agung Wibowo, Asnawi Lubis, dan **Jamiatul Akmal**

Identitas : a. Nama Prosiding : Prosiding Seminar Nasional Tahunan Teknik Mesin (SNTTM) XVII
b. ISSN : 2623-0313
c. Edisi (Bulan/Tahun) : Oktober 2019
d. Penerbit : Universitas Trisakti
e. Jumlah Halaman : 6
f. URL online : <http://prosiding.bkstm.org/prosiding/2019/KM12.pdf>

Bandar Lampung, 8 September 2022

Penulis,



Dr. Jamiatul Akmal, S.T., M.T.
NIP. 196908011999031002

Mengetahui

Dekan Fakultas Teknik,



Dr. Eng. Helmy Fitriawan, S.T., M.Sc
NIP. 197509282001121002

Ketua Jurusan Teknik Mesin,



Dr. Amrul, S.T., M.T.
NIP. 197103311999031002

Menyetujui

Lembaga Penelitian dan Pengabdian
kepada Masyarakat Universitas Lampung



Prof. Dr. Ir. Lismelia Afriani, DEA
NIP. 196305101993032008

DOKUMENTASI LEMBAGA PENELITIAN DAN PENGABDIAN KEPADA MASYARAKAT UNIVERSITAS LAMPUNG	
TGL	19/09/2022
NO. INVEN	264/P/B/ku/FT/2022
JENIS	Prosiding
PARAF	f

KATA PENGANTAR

Segala puji dan syukur kami panjatkan kepada Tuhan Yang Maha Kuasa, karena hanya dengan rahmat-Nya buku prosiding Seminar Nasional Tahunan Teknik Mesin (SNTTM) XVIII dapat diterbitkan. SNTTM XVIII dengan tema “Inovasi Maju dalam Teknik Mesin untuk Pembangunan Berkelanjutan” merupakan kegiatan tahunan Badan Kerja Sama Teknik Mesin (BKS-TM) Indonesia. SNTTM kali ini diselenggarakan oleh Program Studi Teknik Mesin, Fakultas Teknologi Industri, Universitas Trisakti (Usakti) pada tanggal 9-10 Oktober 2019 di Hotel Aston Kartika Grogol, Jakarta. Dengan terlaksananya seminar ini, diharapkan adanya kerjasama antar Program Studi Teknik Mesin seluruh Indonesia yang semakin erat dan baik dalam pengembangan peran ilmu teknik mesin dalam mendukung pembangunan nasional. Bersamaan dengan SNTTM XVIII kali ini, BKS-TM juga mengadakan kegiatan seminar internasional yang pertama kalinya, yang bernama *International Symposium on Advances and Innovations in Mechanical Engineering (ISAIME)*. ISAIME dan SNTTM XVIII diselenggarakan secara bersamaan dengan kepanitiaan dilakukan oleh Program Studi Teknik Mesin Usakti.

Artikel ilmiah pada prosiding SNTTM XVIII dilakukan seleksi dalam dua tahap: 1) seleksi abstrak untuk kegiatan seminar dan 2) seleksi makalah lengkap untuk prosiding daring. Pada seminar kali ini terdapat 135 makalah lengkap yang diseminarkan yang berasal dari berbagai institusi. Dari 135 makalah, tujuh makalah terpilih untuk diterbitkan di Jurnal Teknik Mesin Indonesia (JTMI). Oleh karena itu, pada prosiding SNTTM XVIII terdapat 128 artikel ilmiah, dengan perincian 46% pada bidang konversi energi, 18% konstruksi mesin, 16% teknik manufaktur, 18% rekayasa material dan 2% pendidikan teknik mesin. Sebagai informasi, artikel ilmiah yang diterbitkan pada prosiding ISAIME berjumlah 49 artikel.

Pada kesempatan ini, kami menyampaikan terima kasih dan penghargaan sebesar-besarnya kepada BKS-TM Indonesia, para pimpinan Program Studi Teknik Mesin, pembicara utama, sponsor, para pemakalah, serta segenap panitia yang telah berpartisipasi aktif atas terselenggaranya SNTTM XVIII dan terbitnya prosiding dari acara ini. Kami selaku panitia pelaksana juga memohon maaf atas kekurangan dan ketidaksempurnaan yang terjadi dalam keseluruhan proses penyelenggaraan seminar dan penerbitan buku prosiding. Akhir kata, semoga prosiding SNTTM XVIII ini dapat bermanfaat bagi kita semua.

Salam,

Daisman P.B. Aji, Ph.D

Ketua Panitia SNTTM XVIII

SUSUNAN KEPANITIAAN

Penanggungjawab

Prof. dr. Ali Gufron Mukti, M.Sc, Ph.D (Pjs. Rektor, Universitas Trisakti)
Prof. Dr. Ir. Indra Surjati, MT (Dekan Fakultas Teknologi Industri, Universitas Trisakti)

Penasehat

Dr. Ario Sunar Baskoro, ST, MT, M.Eng (Universitas Indonesia)
Ir. Tono Sukarnoto, MT (Universitas Trisakti)
Dr. Rianti Dewi Sulamet-Ariobimo, ST, M.Eng (Universitas Trisakti)

Panitia Pelaksana

Ketua: Daisman P.B. Aji, ST, Ph.D
Acara: Dr. Ir. Dorina Hetharia, M.Sc
Sekretaris: Renny, SH, MH
Bendahara: Tumini, SH
Publisitas & Website:
Achdianto, ST, MM
Abigunto, ST
Fajar Rahadian, ST
Khaerul Rozy
Sponsorship: Ir. Noor Eddy, MT
Perlengkapan & Transportasi:
Ir. Yusep Mujalis, MT
Achmad Gozali

Editor

Daisman P.B. Aji, ST, Ph.D
Dr. Ir. Sally Cahyati, MT
Dr. Ir. Triyono, MS
Dr. Ir. Sjahrul Annas, MT

REVIEWER

Prof. Dr. Chalilullah Rangkuti
Prof. Dr. Agustinus Purna Irawan
Dr. Triyono
Dr. Rianti Dewi Sulamet-Ariobimo
Dr. Sally Cahyati
Rosyida Permatasari, Ph.D
Dr. Supriyadi N.S.
Dr. Sentot Novianto
Daisman P.B. Aji, Ph.D
Dr. Willyanto
Dr. Juliana Anggono
Harto Tanujaya, Ph.D
Dr. M. Sobron Yamin Lubis
Dr. Erwin Siahaan
Dr. Ekadewi Anggraini Handoyo
Dr. Oegik Soegihardjo
Dr. H. Dedi Lazuardi
Dr. Steven Darmawan
Dr. Abrar Riza
Tono Sukarnoto, MT
Noor Eddy, MT
Jamal M. Afiff, M.Eng
Gatot Santoso, MT
Toto Supriyono, MT

KM12	Strength analysis of lifting lug of horizontal cylindrical pressure vessel <i>Agung Wibowo, Asnawi Lubis, dan Jamiatul Akmal</i>	KM12.1-6
KM13	Design of Wireless Anemometer Using Radio Telemetry <i>Trihono Sewoyo, Budiono, R. Heni Hendaryati, Rio Estu Pambudi</i>	KM13.1-6
KM14	Design of Stress Measurement System using Arduino Uno Microcontroller <i>R. Heni Hendaryati, Trihono Sewoyo, Budiono dan Abdul Malik</i>	KM14.1-8
KM15	Design of Semi Automatic Bone Surgical Blades <i>Suanda, Hendri Sukma, Wina Libyawati</i>	KM15.1-8
KM16	PERANCANGAN KONVERTER ENERGI GELOMBANG LAUT UNTUK PEMBANGKIT LISTRIK MENGGUNAKAN SISTEM FLOATING <i>Eko Bayu Setiawan, dan Nafsan Upara</i>	KM16.1-9
KM17	Design Of Improvement Of Electrical Grilling Machine <i>Noor Eddy, Ridwan Septian</i>	KM17.1-6
KM18	PERANCANGAN PALU TIANG PANCANG MINI (MINI PILE HAMMER) <i>Toto Supriyono, Bukti Tarigan, Muhamad Syarif Hidayat</i>	KM18.1-7
KM19	Daya Teoretis Turbin Angin Darrieus tipe H <i>Stenly Tangkuman, Tritiya A.R. Arungpadang, Michael E. Rembet, Hengky Luntungan, Alexander P. Widodo</i>	KM19.1-4
KM20	Simulation of Quadcopter Hovering with PSO-PID Controller <i>R. Lullus Lambang G. Hidayat*, Wibowo dan Budi Santoso</i>	KM20.1-6
KM21	Stress Analysis Of Rotary Crane Modification With Maximum Loads 35 Tons <i>Kasda, Deny Poniman Kosasih</i>	KM21.1-5
KM22	Modification of Two-lane Mini Rice Harvesting Machine <i>Herdi Susanto, Zakir Husin, Joli Supardi</i>	KM22.1-6
KM23	Analisa Kekuatan Statik Struktur Penopang RIG Servis Sumur Minyak <i>Muhammad Aryo Widagdo, Suharsono</i>	KM23.1-8

TEKNIK MANUFAKTUR [TM]

TM01	PROSES MANUFAKTUR MATERIAL KOMPOSIT STRUKTUR SAYAP PESAWAT UDARA TANPA AWAK DENGAN MENGGUNAKAN METODE HAND LAY-UP DAN VACUUM BAGGING <i>Lenny Iryani, Singgih Satrio Wibowo</i>	TM01.1-4
TM02	ROLLING MACHINE DESIGN FOR FLATTENING 3/8 INCH DIAMETER OF COPPER PIPE <i>G. Heryana, Jatira, R. Subarkah, Irwandi, B.D. Aprianto</i>	TM02.1-7

Strength analysis of lifting lug of horizontal cylindrical pressure vessel

Agung Wibowo¹, Asnawi Lubis^{2,*} dan Jamiatul Akmal²

¹Program Studi Teknik Mesin Fakultas Teknik Universitas Lampung

²Jurusan Teknik Mesin, Fakultas Teknik Universitas Lampung

*Corresponding author: asnawi.lubis@eng.unila.ac.id

Abstract. Pressure vessel is a closed container used for storing pressurized fluid both in liquid and gas. Fabrication of pressure vessels is generally carried out in construction workshops, and must be moved to site for operation. Therefore, pressure vessel must be equipped with supporting components namely, lifting lug, to facilitate the process of lifting and moving. Finite element analysis using ANSYS was conducted to compare the limit load of a lifting lug with rectangular pad attachment on horizontal cylinder pressure vessels when long side of the rectangular pad attachment is oriented in axial and circumferential direction. The material used for the lifting lug is SA 516 Gr 70 and is assumed to behave as elastic perfectly plastic. The results showed that limit load obtained for lug direction in the hoop was greater than the limit load for lug direction in axial. The stress distribution on pad welding also shows that maximum stress is greater when the long side of rectangular pad is oriented in axial direction, compared with those in hoop direction. It can be concluded that lifting lug will be stronger when the long side of rectangular pad attachment is oriented in the hoop direction.

Abstrak. Bejana tekan adalah suatu wadah tertutup yang digunakan untuk menyimpan fluida bertekanan baik cair ataupun gas. Pembuatan bejana tekan umumnya dilakukan di bengkel konstruksi, dan harus dipindahkan ke lapangan ketika akan digunakan. Oleh karena itu bejana tekan harus dilengkapi dengan komponen pendukung yaitu, *lifting lug* untuk mempermudah dalam proses pengangkatan dan pemindahannya. Penelitian ini dilakukan untuk membandingkan limit beban pada *lifting lug* bejana tekan silinder horizontal dengan sisi panjang dari attachment persegi panjang diorientasikan pada arah aksial dan hoop. Penelitian ini dilakukan dengan metode elemen hingga menggunakan ANSYS. Material yang digunakan untuk *lifting lug* adalah SA 516 Gr 70 dan diasumsikan bersifat *elastic perfectly plastic*. Hasil penelitian yang diperoleh menunjukkan bahwa limit beban *lifting lug* dengan sisi panjang dari attachment persegi panjang pada arah hoop memiliki nilai yang lebih tinggi daripada sisi panjang pada arah aksial. Distribusi tegangan pada *pad welding* menunjukkan bahwa tegangan maksimum lebih tinggi ketika *lifting lug* diorientasikan pada arah aksial, dibandingkan dengan arah hoop. Dapat disimpulkan bahwa *welding* akan lebih kuat ketika sisi panjangnya berada pada arah hoop.

Kata kunci: bejana tekan silinder horizontal, *lifting lug*, limit beban, *pad attachment*.

© 2019. BKSTM-Indonesia. All rights reserved

Pendahuluan

Bejana tekan (*pressure vessel*) adalah suatu wadah tertutup yang digunakan untuk menyimpan fluida bertekanan baik cair ataupun gas. Bejana tekan banyak digunakan pada industri proses, kilang minyak dan pembangkit daya. Bentuk yang paling umum dari bejana tekan adalah silinder, *spherical*, dan *conical*. Berdasarkan fungsinya, bejana tekan silinder terbagi dua, yaitu silinder horizontal dan silinder vertical.

Perancangan dan pembuatan bejana tekan telah diatur berdasarkan buku panduan (*design code*). Design code yang paling banyak digunakan adalah ASME Boiler and Pressure Vessel Code Section VIII Div 1, yang mengatur rule untuk konstruksi

bejana tekan [1]. Berdasarkan tebal dindingnya, bejana tekan dapat dibagi menjadi bejana tekan berdinding tipis dan bejana tekan berdinding tebal. Bejana tekan biasanya dapat diperlakukan sebagai bejana berdinding tipis jika perbandingan radius terhadap ketebalan bernilai 10 atau lebih besar. Stress akibat tekanan internal pada bejana tekan silinder berdinding tipis dapat ditentukan dengan teori membrane, sedangkan pada silinder dinding tebal stress dihitung dengan persamaan Lamé [2].

Bejana tekan dengan dinding tebal digunakan untuk tekanan yang tinggi dan diameter yang besar. Bejana tekan dengan diameter yang besar biasanya sulit diangkat atau dipindahkan. Oleh sebab itu bejana tekan harus dilengkapi dengan komponen

pendukung yaitu *lifting lug*, untuk memudahkan pengangkatan dan pemindahannya dari bengkel konstruksi ke lapangan untuk pengoperasiannya. Jumlah *lifting lug* yang digunakan pada bejana tekan ditentukan berdasarkan bentuk bejana dan berat bejana tekan tersebut.

Penelitian serupa telah dilakukan sebelumnya oleh Rizal dkk, hanya saja diaplikasikan untuk pengangkatan dan pemindahan *Deck Jacket Wellhead Tripod Platform* dengan berat total 206,375 ton. Pada penelitian mereka, dimensi *padeye* yang digunakan adalah tebal 6 in, panjang 26 in, dan tinggi 20 in. material yang digunakan untuk perancangan *padeye* adalah Baja A36 [3].

Metode Penelitian

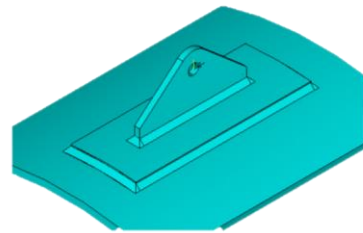
Pada penelitian ini digunakan metode elemen hingga dengan software ANSYS. Secara umum metode elemen hingga dengan ANSYS terdiri dari tiga tahapan penting yaitu: *Preprocessing*, *Solution* dan *Post-Processing* [4].

Preprocessing. Pada tahap *processing* dilakukan pemodelan geometri, pemberian kondisi batas, dan pemberian beban. Langkah pertama sebelum pembuatan model geometri adalah menentukan parameter geometri benda yang akan dimodelkan. Hal ini bertujuan untuk mempermudah perubahan dimensi dari model tersebut jika diperlukan. Tabel 1 adalah parameter geometri *lifting lug* yang dimodelkan:

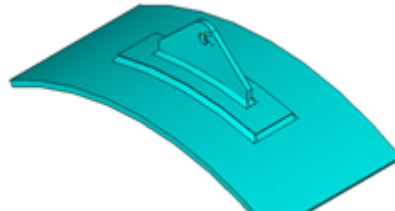
Tabel 1. Parameter Geometri

Parameter	Simbol	Nilai
jari-jari luar silinder	r_i	765.55 mm
jari-jari dalam silinder	r_o	750 mm
tebal <i>lifting lug</i>	T	12.7 mm
tinggi <i>lifting lug</i>	H	127 mm
lebar <i>lifting lug</i>	L	254 mm

Setelah parameter ditentukan maka geometri dapat dimodelkan. Pada penelitian ini ada dua geometri yang dimodelkan, yaitu *lifting lug* pada arah aksial yang artinya sisi panjang *lug* berada pada arah sumbu aksial, seperti pada Gambar 1. Untuk *lifting lug* arah hoop yaitu sisi panjang *lug* berada pada arah hoop (*circumferential*), seperti pada Gambar 2.



Gambar 1. Lifting lug pada arah aksial

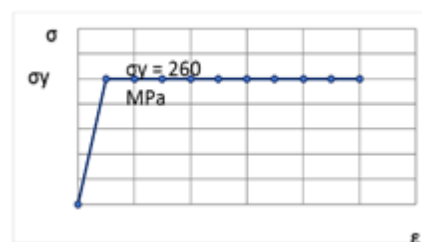


Gambar 2. Lifting lug pada arah hoop

Pada penelitian ini digunakan material SA 516 Gr 70, yang diperuntukkan untuk bejana tekan dan boiler. Material propertis dari SA 516 Gr 70 adalah modulus Elastisitas (E) sebesar 200 GPa, kekuatan luluh (σ_y) sebesar 260 MPa dan *Poisson ratio* (ν) sebesar 0,3. Untuk lebih jelasnya material propertis yang digunakan dapat dilihat pada Tabel 2. Material diasumsikan bersifat *elastic perfectly plastic*, seperti dapat dilihat pada Gambar 3.

Table 2. Material Propertis Geometri

Material Propertis	Simbol	Nilai
Modulus Young	E	200 GPa
Yield strength	σ_y	260 MPa
Poisson Ratio	ν	0,3

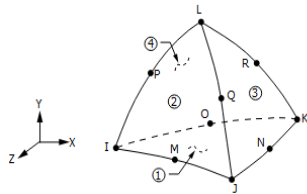


Gambar 3. Model material *elastic-perfectly plastic*

Untuk simulasi pengelasan bejana tekan pada penelitian ini digunakan elektroda AWS SFA 5.4: E 307-15. Material ini memiliki ketahanan pada temperatur tinggi, yaitu antara 1100 °C – 1200 °C dan memiliki kekuatan luluh dan kekuatan tarik masing-masing sebesar 400 MPa dan 650 MPa.

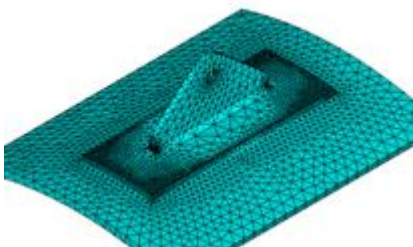
Pada penelitian ini tipe elemen yang digunakan adalah SOLID187 dari ANSYS *element library* [5] yang memiliki bentuk tetrahedron. Elemen ini

mempunyai 10 node dengan 3 derajat kebebasan pada setiap nodenya, yaitu translasi pada arah sumbu x, y, dan z seperti yang terlihat pada Gambar 4.

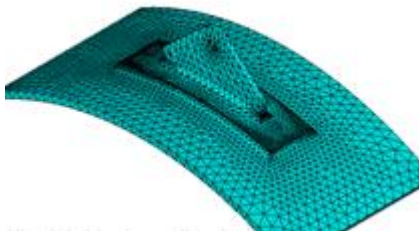


Gambar 4. Elemen SOLID187

Gambar 5 dan 6 masing-masing menunjukkan model elemen hingga untuk lifting lug arah aksial dan arah hoop hasil proses meshing

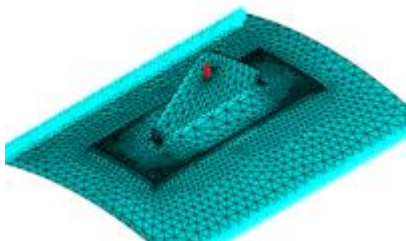


Gambar 5. Meshing untuk *lifting lug* arah aksial.

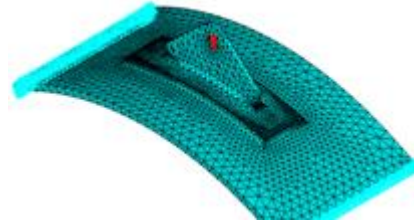


Gambar 6. Meshing untuk *lifting lug* arah hoop.

Kondisi Batas dan Pembebanan. Kondisi batas yang diberikan pada pemodelan ini adalah perpindahan nol pada semua node pada bagian bawah silinder. Beban tarik vertikal diaplikasikan pada *lifting lug* sebagai simulasi berat ketika mengangkat bejana tekan. Kondisi batas dan pembebanan ditunjukkan pada Gambar 7 dan 8.



Gambar 7. Kondisi batas dan pembebanan dengan lug arah aksial.



Gambar 8. Kondisi batas dan pembebanan dengan lug arah circumferensial.

Solusi Nonlinear. Untuk memperoleh limit beban digunakan algoritma Newton-Raphson dalam memperoleh solusi permasalahan nonlinear. Metode Newton-Raphson memiliki keunggulan yaitu cepat konvergen,

Hasil dan Pembahasan

Analisis nonlinear dan limit beban. Limit beban dapat diperoleh dari solusi terakhir yang konvergen, bila solusi masih konvergen maka beban berlanjut pada substep berikutnya, jika solusi tidak konvergen maka akan aktif metode bagi dua (*bisection*). Jika solusi tetap tidak konvergen, maka proses solusi akan berakhir (*error*) yang ditandai munculnya angka 999999 pada substep terakhir seperti pada Tabel 3 dan 4.

Limit beban merupakan beban maksimum yang dapat ditahan sebelum gagal akibat struktur menerima beban yang berlebih. Pada penelitian ini kekuatan struktur *lifting lug* dengan sisi panjang pada arah aksial dibandingkan dengan kekuatan arah hoop (*circumferential*). Tabel 3 dan Tabel 4 masing-masing menunjukkan bahwa limit beban adalah 58,5 kN jika sisi panjang *lifting lug* diorientasikan pada arah aksial dan 61,1 kN jika diorientasikan pada arah hoop.

Dari Tabel 3 dan Tabel 4 dapat dilihat bahwa maka *lifting lug* pada arah hoop (*circumferential*) yang lebih kuat menahan beban tarik vertical dibandingkan dengan *lifting lug* pada arah aksial.

Tabel 3. Limit beban pada *lifting lug* arah aksial.

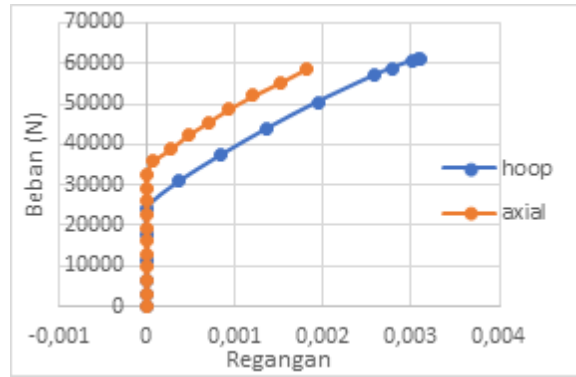
Tekanan Mpa	Beban F (N)	Load step	Substep
19.949	3249.89	1	1
39.897	6499.62	1	2
59.846	9749.51	1	3
79.795	12999.4	1	4
99.744	16249.3	1	5
119.69	19498.7	1	6
139.64	22748.8	1	7
159.59	25998.8	1	8
179.54	29248.9	1	9

199.49	32498.9	1	10
219.44	35749	1	11
239.38	38997.4	1	12
259.33	42247.5	1	13
279.28	45497.5	1	14
299.23	48747.6	1	15
319.18	51997.6	1	16
339.13	55247.7	1	17
359.08	58497.7	1	18
398.97	64996.2	1	999999

Tabel 5. Limit load pada *lifting lug* arah hoop.

Tekanan MPa	Beban F (N)	Load Step	Substep
19.949	3249.89	1	1
39.897	6499.62	1	2
69.821	11374.5	1	3
109.82	17890.8	1	4
149.82	24407.2	1	5
189.82	30923.6	1	6
229.82	37440	1	7
269.82	43956.4	1	8
309.82	50472.8	1	9
349.82	56989.2	1	10
360.88	58791	1	11
371.94	60592.7	1	12
374.55	61017.9	1	13
375.05	61099.4	1	14
398.97	64996.2	1	999999

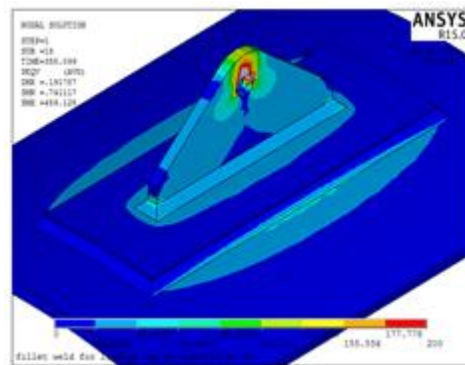
Gambar 9 menunjukkan hubungan beban terhadap perpindahan (regangan) untuk *lifting lug* arah aksial dan hoop ketika diberikan beban tarik vertikal. Pada *lifting lug* arah aksial terjadi deformasi elastis ketika menerima beban sampai dengan 32,5 kN. Deformasi plastis pada *lifting lug* arah aksial terjadi ketika beban menerima 35,7 kN sampai dengan 55,2 kN. Pada *lifting lug* arah hoop terjadi deformasi elastis ketika menerima beban sampai 24,4 kN dan akan mengalami deformasi plastis ketika menerima beban 30.9 kN sampai dengan 61.0 kN.



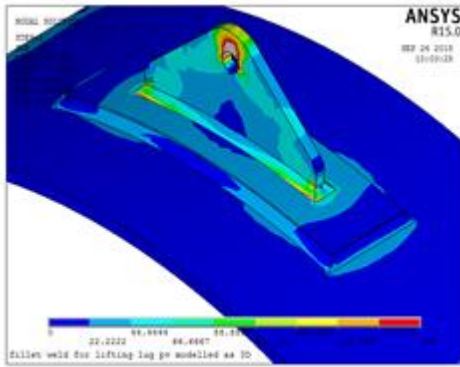
Gambar 9. Hubungan beban vs. regangan pada *lifting lug* dengan beban tarik vertical

Gambar 9 juga menunjukkan titik patah (*fracture*) pada *lifting lug* arah aksial yang lebih kecil dibandingkan dengan titik patah untuk *lifting lug* arah hoop. *Lifting lug* arah aksial mengalami kegagalan pada beban 58.5 kN, sedangkan pada *lifting lug* arah hoop lebih besar yaitu 61.1 kN.

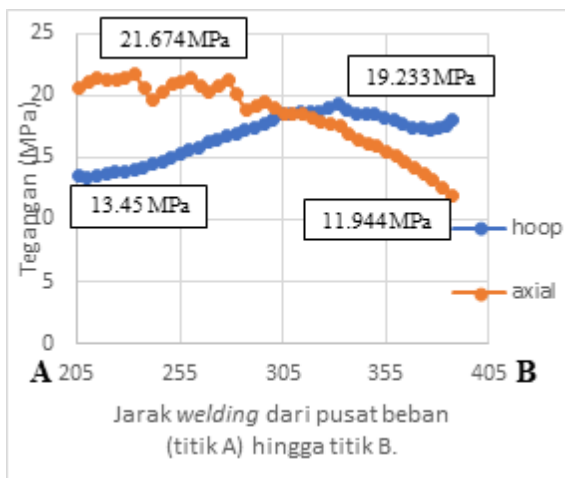
Distribusi tegangan. Gambar 10 menunjukkan kontur stress sepanjang *pad welding* untuk *lifting lug* arah aksial. *Pad welding* adalah las yang berada pada bagian *pad*, yang berfungsi untuk menyambungkan shell bejana tekan dengan bagian *pad*. Gambar 11 menunjukkan kontur stress yang sama pada *pad welding* untuk *lifting lug* arah hoop. Perbandingan distribusi stress sepanjang setengah *pad welding* untuk *lifting lug* arah aksial dan hoop ditunjukkan oleh Gambar 12.



Gambar 10. Stress contour plot untuk *lifting lug* arah aksial



Gambar 11. Stress contour plot untuk lifting lug arah hoop



Gambar 12. Distribusi tegangan *pad welding* lifting lug arah axial dan hoop.

Pada Gambar 12 ditunjukkan distribusi tegangan sepanjang *welding* dari garis kerja beban sampai ke pinggir lasan. Dari Gambar 12 dapat dijelaskan bahwa tegangan terbesar terjadi pada *pad welding* aksial dengan nilai maksimum 21.674 MPa yang terletak pada pertengahan las atau pada garis kerja beban, sedangkan nilai minimum sebesar 11.944 MPa terletak pada ujung sisi las. Gambar 12 juga menunjukkan bahwa tegangan mengalami kenaikan ketika mendekati pusat beban dan memiliki tegangan yang lebih kecil ketika berada pada ujung *welding*.

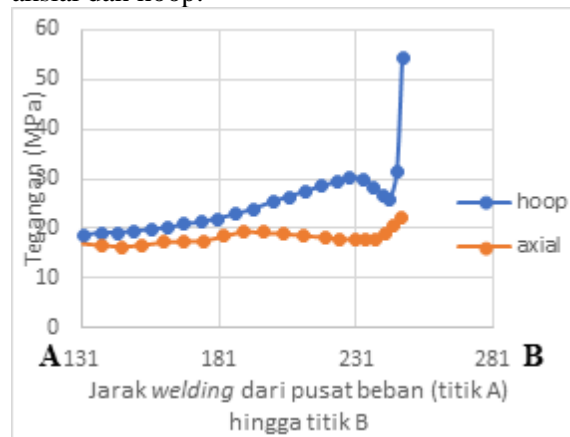
Sedangkan tegangan pada *pad welding* hoop memiliki nilai maksimum yang lebih kecil yaitu 13.45 MPa pada posisi garis kerja gaya dan memiliki nilai maximum sebesar 19.23 MPa pada titik terjauh dari garis kerja gaya. Dapat dilihat bahwa untuk *lifting lug* arah hoop tegangan makin besar jika posisi makin jauh dari garis kerja gaya dan terkecil pada posisi garis kerja gaya.

Dari Gambar 12 dapat diamati bahwa distribusi stress sepanjang *welding* lebih merata untuk *pad welding* hoop. Sedangkan untuk *pad welding* aksial terjadi pemusatan tegangan pada posisi garis kerja gaya. Ini menunjukkan bahwa *pad welding* aksial bersifat lebih lemah dibandingkan dengan *pad*

welding hoop ketika diberikan gaya tarik vertikal. Dapat dikatakan bahwa *welding* akan lebih kuat menerima beban ketika sisi panjangnya berada pada arah hoop (*circumferential*) dibandingkan pada arah aksial.

Gambar 13 menunjukkan perbandingan distribusi tegangan pada lug *welding* arah aksial dan hoop. Lug *welding* adalah bagian las yang berada pada bagian lug, yang berfungsi untuk menyambungkan bagian pad dengan lug baik arah aksial maupun arah hoop. Pada Gambar 13, jarak *welding* diukur dari garis kerja beban sampai ke pinggir lasan. Pada lug *welding* tegangan terbesar terjadi pada lifting lug arah hoop, yaitu pada posisi terjauh dari garis kerja gaya, yaitu 106.38 MPa, dan memiliki tegangan yang lebih kecil pada area tengah *welding* atau pada posisi garis kerja beban yaitu 15.828 MPa. Pada lifting lug arah hoop ini terjadi pemusatan tegangan yang signifikan pada sisi ujung *welding*.

Pada *lug welding* arah aksial tegangan lebih merata dan tidak terjadi kenaikan tegangan yang besar. Tegangan maksimum pada *lug welding* aksial adalah 21.807 MPa yang berada pada posisi terjauh dari garis kerja gaya, sedangkan untuk minimumnya yaitu 16.497 MPa. Lug *welding* arah aksial dan hoop memiliki tegangan yang besar pada titik terjauh dari garis kerja gaya, sehingga pada titik tersebut terjadi kegagalan pada *lifting lug* arah aksial dan hoop.



Gambar 13. Distribusi tegangan *pad welding* lifting lug arah axial dan hoop.

Kesimpulan

Dari hasil penelitian yang telah dilakukan dapat disimpulkan bahwa limit beban pada lifting lug arah hoop lebih besar dari pada limit beban lifting lug arah aksial. Nilai tegangan juga lebih kecil jika lifting lug diorientasikan pada arah hoop, sehingga dapat disimpulkan lifting lug akan lebih kuat ketika sisi panjang *lug* berada pada arah hoop (*circumferential*)

Referensi

- [1] ASME Boiler and Pressure Vessel Code Section VIII Division 1, 2010, Rule for Construction of Pressure Vessel. ASME, New York.
- [2] Flugge, W., 1973, Stresses in Shells. Springer-Verlag, New York.
- [3] Rizal, Handayanu dan Soedjono J.J., 2013, Studi Analisis Lifting dan Design Padeye pada Pengangkatan Deck Jacket Wellhead Tripod Platform Menggunakan Floating Crane Barge. Jurnal Teknik POMITS Vol. 1, No. 1, hal. 1-6, Teknik Kelautan, Fakultas Teknologi Kelautan, Institut Teknologi Sepuluh Nopember (ITS), Surabaya.
- [4] Moaveni, S., 1999, Finite Element Analysis, Theory and Application with ANSYS. Minnesota State University.
- [5] ANSYS Inc. ANSYS help. Theory Reference